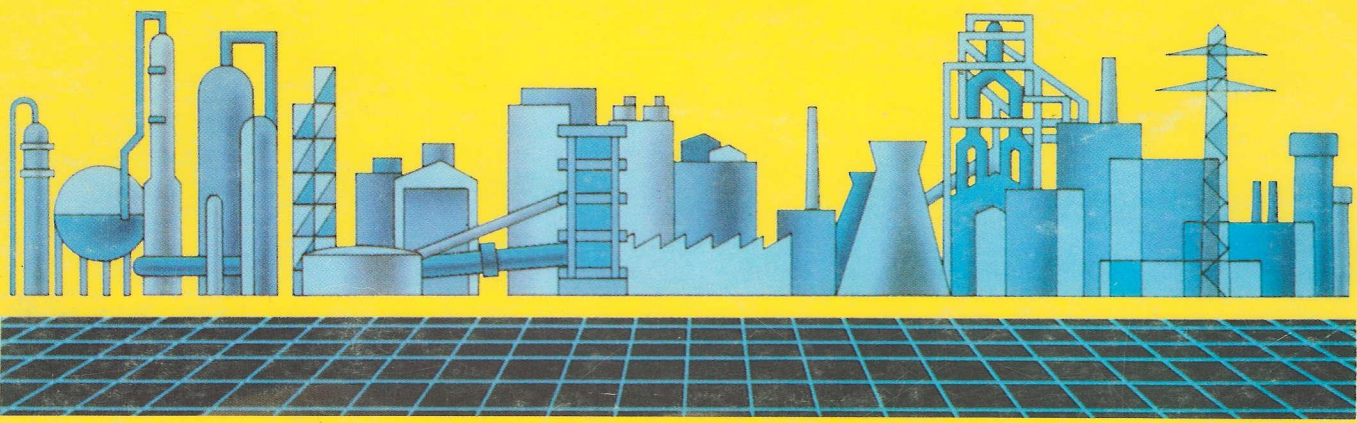
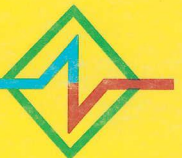


ISBN 5-7763-2106-9

ISBN 5-7763-2107-7

# ІТЕ ІНТЕГРОВАНІ ТЕХНОЛОГІЇ ТА ЕНЕРГОЗБЕРЕЖЕННЯ

ЩОКВАРТАЛЬНИЙ НАУКОВО-ПРАКТИЧНИЙ ЖУРНАЛ



УДК 662.6

Товажнянский Л.Л., Капустенко П.А., Ульев Л.М., <sup>1</sup>Болдырев С.А.

## СОЗДАНИЕ ОПТИМАЛЬНОЙ ТЕПЛООБМЕННОЙ СИСТЕМЫ В ПРОЦЕССЕ ДИСТИЛЛЯЦИИ КАМЕННОУГОЛЬНОЙ СМОЛЫ

НТУ "ХПИ", Харьков; <sup>1</sup>АО "Содружество – Т", Харьков;

### Введение

В работе [1] авторами с помощью аппарата составных кривых [2] определен потенциал энергосбережения для процессов дистилляции каменноугольной смолы и переработки нафталиновой фракции на одноколонном аппарате ОАО «Авдеевский КХЗ». В указанной работе достаточно подробно приведено технологическое описание процессов, их технологическая схема и данные технологических потоков процессов. В работе было показано, что в существующем сейчас процессе отсутствует тепловая интеграция, а это означает, что проект реконструкции теплообменной системы процесса можно создавать, как корневой МЭР проект [2] для оптимального значения  $\Delta T_{min}$ . В работе [1] определены  $\Delta T_{min}$  для всего набора энергетических тарифов, существующих в настоящее время на предприятии и показано, что можно выбрать из диапазона, определенных значений  $\Delta T_{min}$ , такое значение, что созданная для него система рекуперации будет работать в оптимальном режиме с точки зрения приведенной стоимости проекта реконструкции, т.е. проект реконструкции будет достаточно гибким к возможному изменению тарифной политики предприятия и государства

В данной работе мы построим оптимальную сеточную диаграмму [2] для проекта реконструкции процесса дистилляции и определим, как изменятся основные его энергетические параметры и параметры, используемого теплообменного оборудования.

### Определение энергопотребления для существующей системы теплообмена в процессе дистилляции

На основании данных, опубликованных в [1] построим сеточную диаграмму процессов в цехе перегонки каменноугольной смолы, т.е. непосредственно процесса дистилляции каменноугольной смолы и отделения переработки нафталиновой фракции с существующей в настоящее время системой теплообмена (рис. 1). Сеточная диаграмма рассматриваемых процессов характерна для производств с отсутствием тепловой интеграции [2]. В [1] с помощью построения составных кривых существующего, неинтегрированного процесса мы определили величину горячих утилит, потребляемых процессом  $Q_H = 3923.6$  кВт и величину необходимых холодных утилит  $Q_C = 2064.1$  кВт.

Утилитной системой для цеха перегонки служит трубчатая печь, где сжигается обратный коксовый газ и паровые магистрали завода.

В процессе дистилляции пар из паровых магистралей не используется, а вся тепловая энергия, необходимая для разделения смеси приобретается в трубчатой печи. Пар из магистралей используется в процессе переработки нафталиновой фракции для обогрева пресса и плавильников, потоки 11 и 12 (рис. 1). Мощность, потребляемая из паровых магистралей технологическими потоками,ключенными в интеграцию равна 291 кВт (рис. 1), т.е. тепловая мощность, потребляемая процессом дистилляции в печи равна ~3633 кВт.

**Синтез сети теплообменных аппаратов для СПЦ Авдеевского КХЗ**

Для того чтобы синтезировать интегрированную систему теплообмена рассматриваемых процессов построим сеточную диаграмму технологических потоков с указанием локализации пинча и без обозначения утилит на потоках (рис. 2).

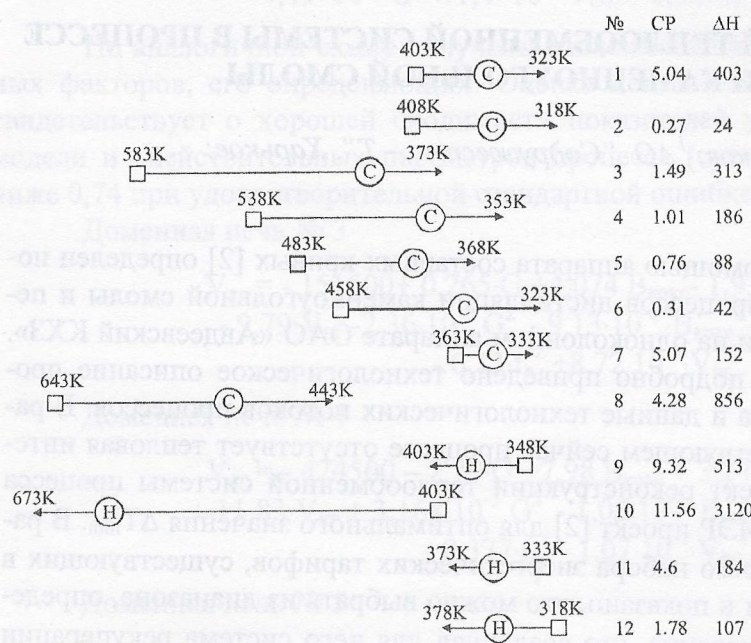


Рисунок 1 – Сеточная диаграмма существующей теплообменной системы процессов дистилляции каменноугольной смолы и переработки нафталиновой фракции. Потоки, направленные направо – горячие потоки, налево – холодные; С – охлаждение, Н – нагрев

тей выше пинча и ниже пинча, и сшиваем их на температурах пинча.

Сеточная диаграмма для теплообменной системы, построенной с разделением на пинче, показана на рис. 3. При построении этой сеточной диаграммы учитывалось, что поток №1 состоит из трёх температурных сегментов [1], в каждом из которых должны осуществляться свои условия теплообмена отличные от условий других сегментов. Первый температурный сегмент этого потока находится в интервале температуры 403–373 К. В этом интервале охлаждаются пары первой ступени испарителя. Их потоковая теплоёмкость равна  $\sim 0,3$  кВт/К. Охлаждение паров происходит до температуры конденсации, которая равна температуре пинча горячих потоков. Следовательно, изменение потоковой энталпии первого потока выше пинча составит величину  $\sim 9$  кВт. Ниже верхней температуры пинча на первом потоке происходит конденсация, для чего используются теплообменные аппараты  $T_9$  и  $T_{10}$ , а затем охлаждение конденсата (рис. 3) в рекуперативном теплообменнике  $T_{12}$  и дальнейшее охлаждение в утилитном теплообменнике С.

Аналогичный теплообмен происходит при охлаждении горячего потока №2. До температуры пинча охлаждаются пары лёгкого масла, а затем происходит их конденсация и охлаждение конденсата.

Поток исходной каменноугольной смолы ниже пинча может быть приведен к его пинч-температуре за счет теплообмена с конденсирующимися парами первой ступени испарителя теплообменный аппарат  $T_8$  (рис. 3). Выше пинча этот поток можно привести к его целевой температуре с помощью теплообмена с продуктами ректификации, но

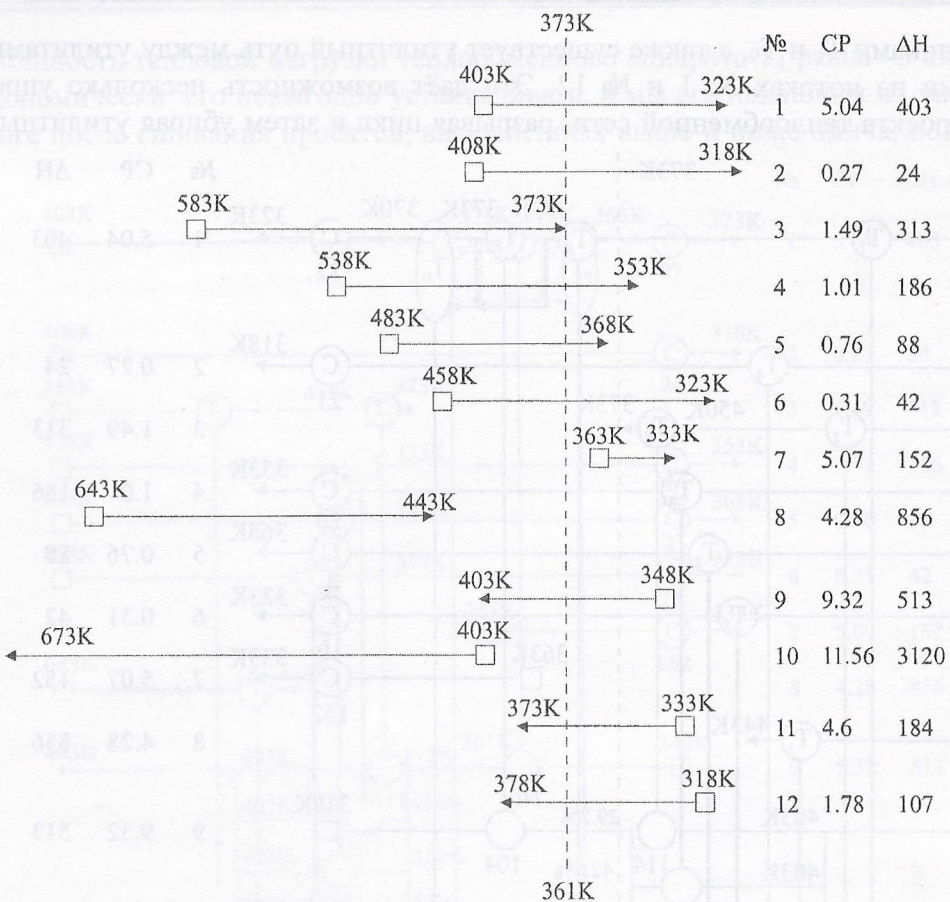


Рисунок 2 – Полная система технологических потоков СПЦ, участвующих в интеграции. Пунктирная линия – разделение на пинче. Горячие потоки направлены направо, холодные – налево. № – номер потока по таблице 1; СР – потоковая теплоемкость, кВт/К;  $\Delta H$  – изменение потоковой энталпии, кВт

для этого необходимо расщеплять этот поток на четыре параллельных подпотока, что потребует установки коллектора и установки на ветвях потока теплообменников  $T_3$ ,  $T_4$ ,  $T_5$  и  $T_6$  (рис. 4.2). Установка указанных рекуперативных теплообменников исключает необходимость нагрева сырой каменноугольной смолы в трубчатой печи перед подачей её в испаритель первой ступени для обезвоживания (рис. 3).

Поток обезвоженной смолы № 10 также должен быть расщеплен на две параллельные ветви, одна из которых связывается теплообменником с горячим потоком пека № 8, а другая с горячим потоком второй антрациновой фракции № 3. За счет теплообмена обезвоженная смола нагревается от температуры 403 К до температуры 494 К. При этом рекуперируется тепловая мощность равная 1,054 МВт.

Холодный поток № 11 – нагрев и плавление нафталина в прессе может быть доведен до пинч-температуры в проекте ниже пинча с помощью охлаждения конденсата паров из испарителя 1<sup>й</sup> ступени. На сеточной диаграмме взаимодействие между указанными потоками показано размещением  $T_9$ .

После того, как мы удовлетворим температурные требования холодных потоков № 9 и № 10 выше пинча у нас остались неудовлетворёнными горячие потоки № 1 и № 2, но изменения их потокового теплосодержания здесь незначительны. Можно организовать теплообменные связи между потоками 1 и 12, 2 и 11, как показано на рис. 3.

Мы видим, что на сеточной диаграмме, изображённой на рис. 4, при сшивании проектов теплосетей, выполненных выше и ниже пинча появился цикл, образованный

теплообменниками  $T_1$  и  $T_9$ , а также существует утилитный путь между утилитами, расположеными на потоках № 1 и № 12. Это даёт возможность несколько упростить структуру проекта теплообменной сети, разрывая цикл и затем убирая утилитный теп-

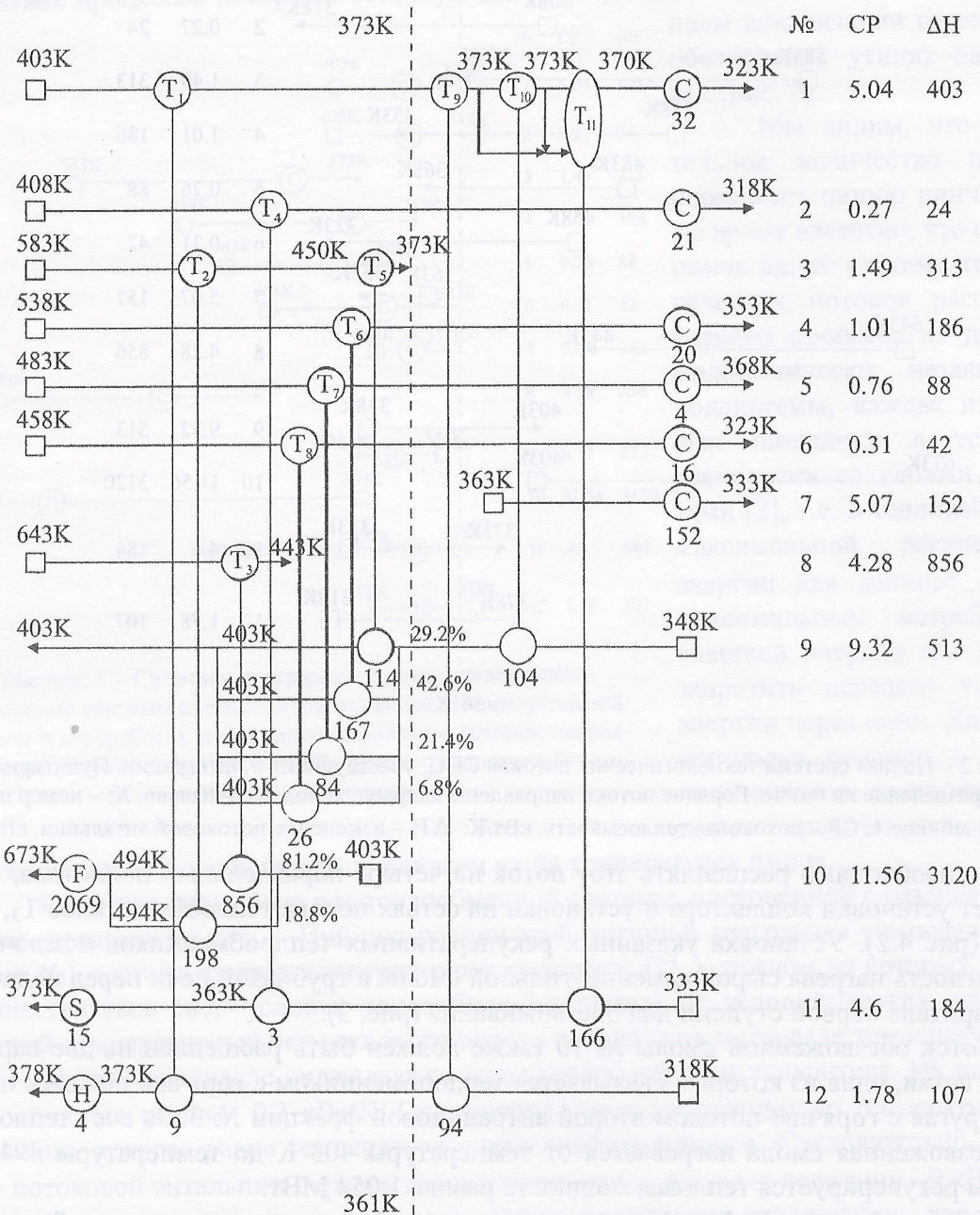


Рисунок 3 – Сеточная диаграмма проекта реконструкции теплообменной сети СПЦ с разделением на пинче, построенная для  $\Delta T_{min} = 12K$ .  $T_1-T_{11}$  – рекуперативные теплообменные аппараты; С – утилитные теплообменные аппараты; F – трубчатая печь; S – нагрев парами среднего давления; CP – потоковая теплоемкость, кВт; № – номер потока из таблицы 1. Под обозначение теплообменных аппаратов показаны их тепловые нагрузки, кВт; на расщеплениях потоков показаны проценты от общего массового расхода потока. На штриховой линии, разделяющей полную систему на тепловой сток и тепловой источник показаны пинч-температуры

лообменник на потоке 12 с помощью увеличения тепловой нагрузки на оставшемся от цикла теплообменнике.

Мощность тепловой нагрузки теплообменного аппарата  $T_4$  равна  $\sim 3$  кВт, и, поэтому экономически его невыгодно устанавливать, и мы его исключим из тепловой сети. В итоге после сшивания проектов, выполненных выше и ниже пинча, получаем се-

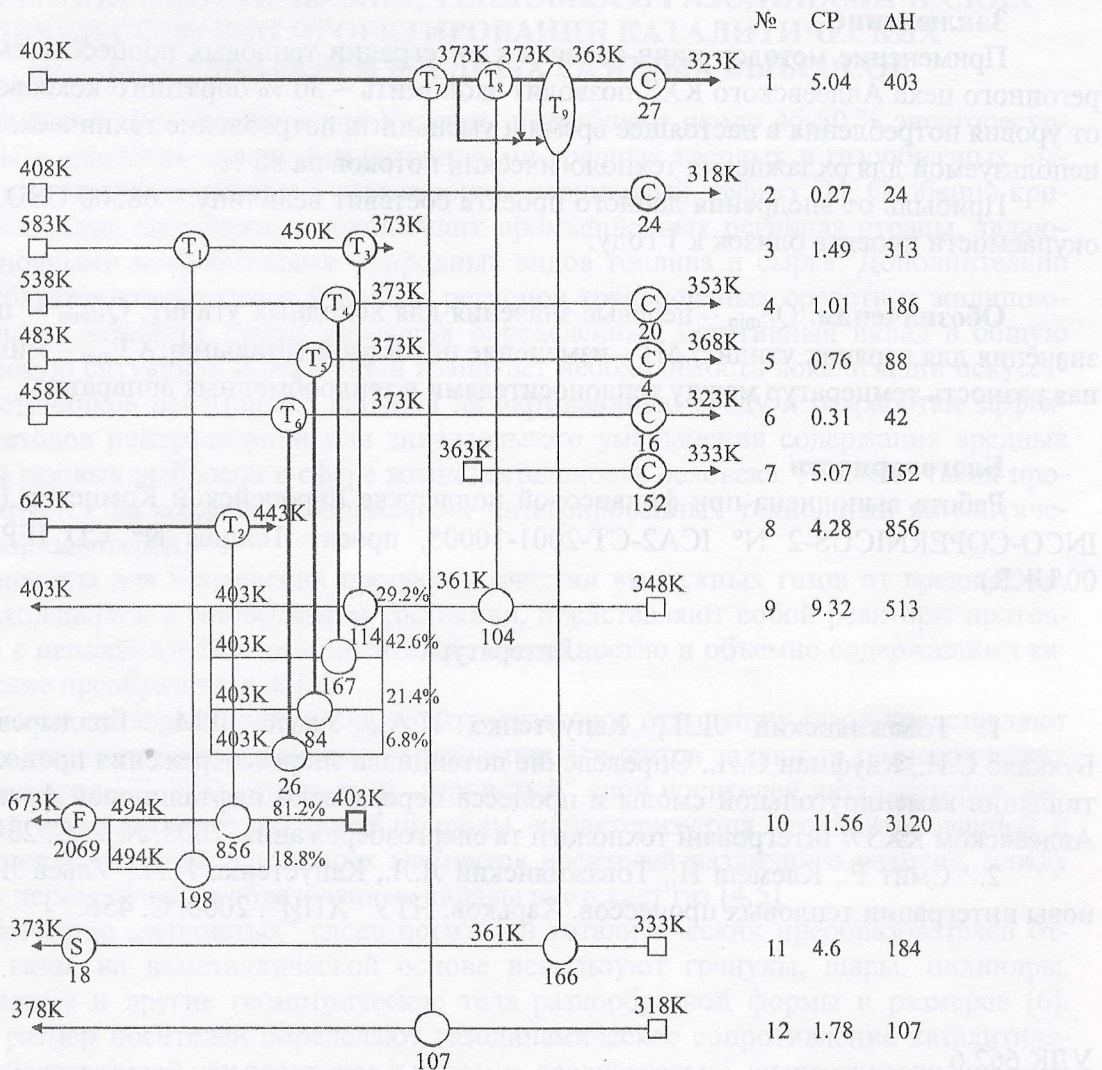


Рисунок 4 – Сеточная диаграмма оптимизированного проекта реконструкции теплообменной сети СПЦ.  
Обозначения аналогичны обозначениям на рисунке 3

точную диаграмму проекта реконструкции теплообменной сети процессов дистилляции каменноугольной смолы и переработки нафталиновой фракции (рис. 4).

Общая мощность тепловой энергии, потребляемой от горячих утилит, указанными процессами с помощью предлагаемой системы теплообмена равна  $Q_{H\min} = 2087$  кВт, что на 1837 кВт меньше, чем в действующей сейчас системе теплообмена. Это означает, что потребление энергии можно сократить на  $\sim 47\%$  от существующего в настоящее время уровня.

Потребление холодных утилит в предлагаемом проекте теплообменной сети СПЦ может быть снижено до величины 243 кВт, т.е. на 88 % от существующего ныне уровня.

При стоимости горячих утилит 30 USD за 1 кВт·год и холодных – 7.3 USD за 1 кВт·год уменьшение энергопотребления процессами приведёт к экономии равной

~68400 USD в год. Оценка стоимости предлагаемой реконструкции показала, что срок ее окупаемости не превысит 1.2 года.

## Заключение

Применение методов пинч-анализа к интеграции тепловых процессов смолоперегонного цеха Авдеевского КХЗ позволит экономить ~ 50 % обратного коксового газа от уровня потребления в настоящее время и уменьшить потребление технической воды, используемой для охлаждения технологических потоков на 88 %.

Прибыль от внедрения данного проекта составит величину ~ 68500 USD, а срок окупаемости проекта близок к 1 году.

**Обозначения:**  $Q_{C\min}$  – целевые значения для холодных утилит;  $Q_{H\min}$  – целевые значения для горячих утилит;  $\Delta H$  – изменение потоковой энталпии;  $\Delta T_{\min}$  – минимальная разность температур между теплоносителями в теплообменных аппаратах.

## Благодарности

Работа выполнена при финансовой поддержке Европейской Комиссии (Проект INCO-COPERNICUS-2 № ICA2-CT-2001-10005, проект Tempus № CD\_JEP-21242-00/UKR)

## Литература

1. Товажнянский Л.Л., Капустенко П.А., Ульев Л.М., Болдырев С.А., Бухкало С.И., Кауфман С.И.. Определение потенциала энергосбережения процесса дистилляции каменноугольной смолы и процесса переработки нафталиновой фракции на Авдеевском КХЗ // Інтегровані технології та енергозбереження. 2003, № 2. С. 23-30
2. Смит Р., Клемеш Й., Товажнянский Л.Л., Капустенко П.А., Ульев Л.М. Основы интеграции тепловых процессов. Харьков. НТУ "ХПИ". 2000. С. 456.

УДК 662.6

Товажнянський Л.Л., Капустенко П.О., Ульєв Л.М., Болдирєв С.О.

## СТВОРЕННЯ ОПТИМАЛЬНОЇ ТЕПЛООБМІННОЇ СИСТЕМИ У ПРОЦЕСІ ДИСТИЛЯЦІЇ КАМ'ЯНОВУГІЛЬНОЇ СМОЛИ

У даній роботі методи пінч-аналізу застосовано до створення оптимальної системи теплообміну у процесі дистиляції кам'яновугільної смоли на одноколонному агрегаті, який включає також обладнання для переробки нафталинової фракції.

Доведено що за допомогою створеної системи теплообмінників можливо знизити питоме вживання гарячих утиліт на 47 %, а холодних – на 89 % від рівня існуючого у теперішній час.